

经验交流

油井管杆腐蚀结垢原因分析及防治技术

耿玉广¹ 张伟¹ 刘云¹ 马秀荣² 肖健² 朱克华²

1. 中国石油华北油田公司采油工程研究院 任丘 062552;

2. 中国石油华北油田公司第二采油厂 霸州 065709

摘要:华北岔河集油田已进入高含水开发期,在油井检泵中发现抽油杆、油管腐蚀的井数不断增多,且腐蚀程度有加剧之势,一些油井还伴有结垢现象,直接影响了油井正常生产。针对这一问题,从现场腐蚀结垢调查入手,通过采出液性质、垢样成分分析得出,导致杆、管腐蚀结垢的主要原因是采出水矿化度高、离子含量高、游离CO₂含量高,以及硫酸盐还原菌和管杆偏磨的共同作用。通过防腐防垢剂筛选及复配实验,得到了最佳防腐防垢剂配方,现场应用效果明显,使油井平均检泵周期延长了3.9倍。

关键词:油井 油管 抽油杆 防腐 防垢

中图分类号: TE983

文献标识码: A

文章编号: 1002-6495(2015)03-0305-05

1 前言

在油田开发中后期,随着含水率的不断升高,采出液的腐蚀性增强,与之接触的油管、抽油杆及其井下工具的腐蚀、结垢问题越来越突出^[1-3]。抽油杆腐蚀降低了其强度,易造成杆柱断脱;油管壁和丝扣腐蚀,易导致油管漏失。管杆结垢不但加快垢下腐蚀速度,垢片剥落将造成卡泵。如果泵内结垢,将导致泵效降低。所以,杆管腐蚀结垢直接缩短油井的检泵周期,不但影响油井产量,而且每次检泵需更换大量的管杆,成为推高油田生产成本的一个重要因素。

国内外许多油田进入高含水开发阶段后,油井杆管腐蚀结垢有蔓延和加剧趋势。因此,大量腐蚀预测、物理法及化学法缓蚀阻垢技术应运而生,并取得了一定的效果^[4]。由于更换高强度、耐腐蚀油管、抽油杆的成本巨大,并且由于各油田产出液性质不同、开发条件互有差异,导致腐蚀结垢的类型复杂而多样。通行的做法是针对具体的区块或油藏,开发应用与之相适应的防腐防垢技术^[5-6]。针对华北岔河集油田的腐蚀特点,基于从源头治理的思路,研发出高效缓蚀阻垢剂及其配套加药工艺,取得了显著效果。

2 现场情况调查

岔河集油田由北区、中区、南区三部分组成,每个区又包含若干大小不等的复杂断块,各断块油层

埋深、物性、压力、温度及采出液性质等各有差异。该油田1981年投入开发,目前综合含水88.4%,抽油机井开井576口,泵挂1600~2200 m,单井平均产液12.1 m³/d。近年来在油井检泵时发现抽油杆、油管腐蚀的井数逐年增多,有些井还出现了结垢堵死筛管、泵内积垢卡泵等问题,腐蚀结垢成为油井检泵的主要原因之一。

2.1 腐蚀结垢状况

据统计,岔河集油田北区杆管腐蚀井48口,占油井总数的31%,主要集中在岔19、岔74、岔30及岔4断块。中区腐蚀井42口,占油井总数的17.6%,分布在岔12、岔33和岔31断块。南区腐蚀井有14口,占油井总数的4.3%,分布零散(以岔15为例)。杆管腐蚀位置多在700~1500 m井段,主要表现为均匀腐蚀、局部点蚀或坑蚀。从腐蚀程度看,北区、中区腐蚀最为严重,统计其中的40口重点井,3 a内检泵149次,平均检泵周期只有183 d。

2.2 采出水性质分析

为掌握油井腐蚀原因,选取60口油井进行了现场取样分析,典型井分析结果见表1。可见北区各断块采出水为NaHCO₃、MgCl₂、CaCl₂等水型,中区为NaHCO₃、CaCl₂水型,南区为NaHCO₃水型;北区、中区各断块产出水矿化度、Cl⁻含量普遍较高,而且各区块之间差别较大;油井产液中CO₂浓度为6~36 mg/L, HCO₃⁻含量为437~1002 mg/L;部分井存在硫酸盐还原菌(SRB);各井采出水中Fe³⁺含量有差别;产出水pH值为6.0~6.5,呈弱酸性。

2.3 垢样成分分析

对30口存在结垢问题的油井取样,通过15%盐

定稿日期:2014-06-30

作者简介:耿玉广,男,1960年生,博士,高级工程师

通讯作者:张伟, E-mail: cyy_zw@petrochina.com.cn, 研究方向为油田化学应用

DOI: 10.11903/1002.6495.2014.191

酸溶解实验和DIS cover X射线衍射分析(XRD)实验,进行了垢样成分分析,结果见表2。

采用ScaleChem垢分析预测软件,对采出水在不同井筒温度节点的结垢趋势进行预测,结果见表3。可见随着温度升高,结垢加剧。软件预测数据与现场垢样分析数据相吻合。

3 腐蚀结垢原因分析

通过对现场油井腐蚀、结垢情况调查及室内试验分析认为,岔河集油田杆管腐蚀结垢主要受以下5种因素影响^[1,5-8]。

3.1 矿化度的影响

北区、中区采出水矿化度为14000~24000 mg/L,

表1 油井采出水性分析结果

断块	矿化度 mg·L ⁻¹	Cl ⁻ mg·L ⁻¹	HCO ₃ ⁻ mg·L ⁻¹	SO ₄ ²⁻ mg·L ⁻¹	Ca ²⁺ mg·L ⁻¹	Mg ²⁺ mg·L ⁻¹	Na ⁺ mg·L ⁻¹	总Fe mg·L ⁻¹	Fe ²⁺ mg·L ⁻¹	游离CO ₂ mg·L ⁻¹	SRB 个·mL ⁻¹	pH值	主要水型
岔19	24279	13857	906	125	214	78	9097	10	6	24	100	6.2	NaHCO ₃ , MgCl ₂
岔74	20129	11392	852	103	227	99	7455	9	3	35	100	6.1	NaHCO ₃ , MgCl ₂
岔30	17272	9633	1002	27	116	29	6462	6	5	36	100	6.2	NaHCO ₃
岔4	14192	8235	437	62	155	41	5261	9	7	12	100	6.2	MgCl ₂ , CaCl ₂
岔12	22208	12895	685	28	248	41	8312	4	3	15	0	6.2	NaHCO ₃ , CaCl ₂
岔31	20291	11726	714	27	145	16	7663	6	5	6	0	6.5	NaHCO ₃
岔33	18778	10964	539	21	174	4	7076	13	13	12	0	6.0	NaHCO ₃ , CaCl ₂
岔15	7122	3754	639	12	41	47	2628	1	1	24	0	6.0	NaHCO ₃

表2 油井垢物取样分析结果

井号	酸不溶物 / %	灼烧减量 / %	Ca ²⁺ / %	Mg ²⁺ / %	Fe ³⁺ / %	Fe ²⁺ / %	其它 / %
岔19-109	2.33	21.63	6.05	4.34	3.3	36.18	26.17
岔74-213	3.10	23.12	16.96	4.47	4.27	2.13	1.23
岔12-292	0.56	18.95	21.16	1.24	5.03	2.51	0.13
岔74-201	2.11	22.13	21.12	1.16	4.91	2.46	12.14
岔19-219	3.56	12.14	19.70	2.55	0.78	0.39	11.56
岔74-121	2.16	24.13	23.40	5.62	0.93	0.47	1.54

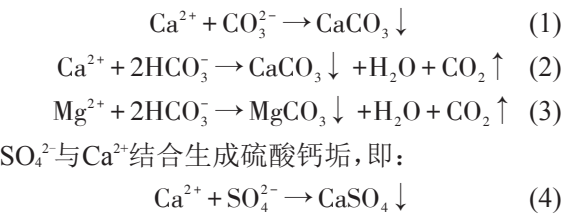
表3 油井结垢预测数据

井号	结垢物质 mg·L ⁻¹	温度 / °C										泵温 °C
		30	35	40	45	50	55	60	65	70	75	
岔19-109	CaCO ₃	0.0	0.0	0.0	0.0	0.0	0.0	0.0	0.0	0.0	29.2	73
	FeCO ₃	0.0	2.1	8.2	13.3	17.6	21.2	24.2	26.6	28.7	29.6	
岔74-213	CaCO ₃	0	0	0	0	0	0	0.49	3.2	5.57	7.94	71.2
岔12-292	CaCO ₃	122.4	131.9	142	152.6	163.7	175.1	186.8	198.7	173.9	183.6	65.9
岔74-201	CaCO ₃	0.0	0.0	0.0	0.0	61.4	135.8	204.2	267.9	328.0	155.1	74
岔19-219	CaCO ₃	60.0	101.5	142.2	181.9	220.7	258.5	295.3	330.9	365.4	398.6	73.5
岔74-121	CaCO ₃	66.2	69.1	72.2	75.3	78.6	81.9	85.1	88.3	91.4	386.2	75.3

杆管腐蚀比较严重。表4为不同断块采出水矿化度与金属腐蚀率的实测结果,可见采出水矿化度越高金属腐蚀率越高。这是因为溶液中带电子浓度增大使其导电性增强,从而加速腐蚀电极的反应进程。一般含盐量高的水中Cl⁻含量也高,因Cl⁻极性很强,易吸附在铁的表面破坏保护膜的形成,从而使腐蚀加剧。

3.2 离子含量的影响

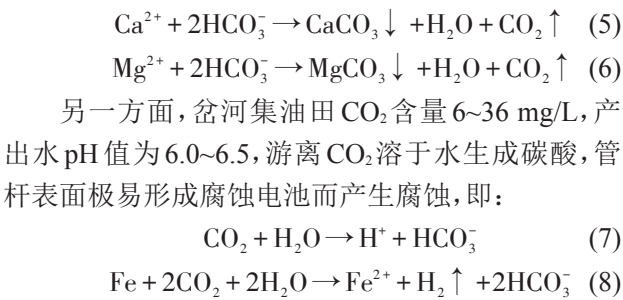
从表1可知,岔河集油田采出水中的离子主要包括Cl⁻,HCO₃⁻,Ca²⁺,Mg²⁺和SO₄²⁻等。其中Cl⁻含量高达13857 mg/L,占总矿化度的57.1%。由于Cl⁻具有较强的穿透性,易使金属表面形成点蚀坑,造成油管穿孔或抽油杆断脱。如北区岔19断块采出水Cl⁻含量高,易导致油管穿孔。HCO₃⁻易与水中Fe²⁺结合,形成钝化膜吸附在杆管表面,但此膜并不致密,易被Cl⁻侵蚀,在Cl⁻的作用下形成点蚀或坑蚀。如岔30断块采出水HCO₃⁻、Cl⁻含量均较高,抽油杆表面有明显的坑蚀。此外,HCO₃⁻可直接参与阴极还原反应,加速阳极溶解,使金属发生均匀腐蚀。Ca²⁺,Mg²⁺与CO₃²⁻或HCO₃⁻结合生成碳酸钙垢,即:



当井筒温度升高时,易于结垢。垢下局部区域会形成小阳极、大阴极电偶,从而加快腐蚀速率。现场发现岔19-219、岔19-3、岔74-201等井结垢严重,杆管垢下腐蚀均比较严重。

3.3 CO₂的影响

在产液举升过程中,随着压力下降,CO₂析出,使处于平衡状态的溶液失去溶解平衡。一方面,使溶液的化学反应向结垢方向进行,从而引起结垢,即:



继而生成FeCO₃及各种铁氧化物(FeFe₂O₄、Fe(OH)₂)。同时,由于H⁺增多,易产生氢去极化腐蚀^[6]。

3.4 细菌的影响

由表1可知,岔河集油田部分井采出水中含有SRB,在无氧环境下将使水中的无机硫酸盐还原出H₂S,从而对杆管造成腐蚀。SRB在37℃左右最适宜生长繁殖,温度15~50℃时生长较快。随着地层产液举升过程中温度、压力、流速的变化,SRB生长环境发生了改变,使得SRB迅速繁殖,含量急剧升高,使井下杆管产生腐蚀。

3.5 管杆偏磨的影响

岔河集油田目前已处于高含水开发阶段,产出液为水包油型,杆管表面失去了原油的保护作用,产出水直接与金属接触,杆管腐蚀加剧。加之该油田斜井多、井斜大,油井举升系统受力极为复杂,导致井下管、杆发生多种形式的弯曲,在润滑剂由原油变为水的条件下,管杆表面相互摩擦,造成表面防腐涂层的破坏,从而加剧了管材腐蚀与老化。因此,防止管杆偏磨也是防腐的重要手段之一。

4 腐蚀结垢防治技术

4.1 防腐防垢方法优选

针对油井管杆腐蚀结垢问题,国内外常用的技术有:采用耐腐蚀合金钢(如不锈钢);在油管或抽油杆表面涂(镀)防腐层(锌铝合金);采取阴极保护措施,形成牺牲阳极(锌铝材料),保护阴极(管、杆);从油套环形空间注入化学防腐阻垢剂;内衬油管防偏磨;采用非金属管杆(如玻璃钢)。此外,还有磁处理

表4 不同断块腐蚀率实测结果

断块	井号	矿化度 / mg·L ⁻¹	腐蚀速率 / mm·a ⁻¹	平均腐蚀速率 / mm·a ⁻¹
岔19	岔19-102	21448.9	0.2015	0.1882
岔74	岔74-213	19202.4	0.2982	
岔30	岔30-152	17622.8	0.1415	
岔4	岔41	10574.7	0.1117	0.1792
岔12	岔12-64	17852.7	0.2522	
岔33	岔33-3	15414.1	0.1182	
岔31	岔31-127	16530.3	0.1672	0.0466
岔15	岔15-179	5891.7	0.0466	

chinaXiv:202303.10623v1

防腐防垢技术等^[4]。

各种防腐防垢工艺方法都有其优点和不足之处(如表5),应根据本油田的腐蚀程度和原因选择性价比高、适应性强的技术。岔河集油田除少数油井腐蚀比较严重外,大多数井的腐蚀程度一般,因此选择了以套加缓蚀阻垢剂为主的防腐防垢措施,并在大量使用抽油杆尼龙扶正器的同时,在偏磨严重的井段实施内衬油管防偏磨技术。

4.2 防腐防垢剂研发

根据岔河集油田采出水水质分析结果,结合检泵时杆管腐蚀结垢程度,将油井腐蚀结垢情况划分成6种类型(见表6)。经过不同缓蚀、防垢剂的初选与复配,对其防腐防垢协同效应进行评价,开展浓度

影响、温度考察、防腐防垢剂配伍性实验,确定了HZ系列防腐防垢剂,主要成分包括咪唑啉衍生物、有机胺、有机膦等。

采用静态挂片法,以N80钢为试样,取现场油井采出水,在70℃下进行缓蚀剂性能评价,结果见表7。

由表7可知,针对不同油井腐蚀类型筛选出的6个配方,其缓蚀速率均大大低于石油天然气行业标准规定的0.076 mm/a指标要求。

防垢性能评价按照石油天然气行业标准SY/T5673-1993《油田用防垢剂性能评定方法》进行,利用现场采出水在55~70℃之间下测其防垢率(见表7)。结果显示,HZ-1、HZ-2、HZ-5、HZ-6等4种药剂对各实验井号的防垢率均能达到90%以上。

表5 几种常用防腐防垢方法优缺点对比

防腐防垢工艺	优点	缺点	适应性
耐蚀合金钢管、杆(不锈钢)	防腐蚀效果好,无需其他配套措施,使用简便	价格昂贵,投资大	适应于腐蚀结垢严重的高产油气井,不适应于中低产油气田
涂镀层管、杆	在金属表面形成抑制腐蚀的覆盖层,使金属与腐蚀介质隔开	管杆之间的磨损易造成涂镀层破坏而失效;价格较高	适应于腐蚀结垢较严重的油气田
油管阴极保护	安装简单,使用方便	受现场环境影响大,难以达到最佳防腐效果	可作为一种辅助手段使用
套加缓蚀阻垢剂	在不改变现有管材下使用,经济、灵活、效率高	缓蚀剂的有效保护期短;初期投入少,但累计成本高;管理难度较大	适应于中低产油气田,必要时可连续注入
内衬油管	防止抽油杆直接磨损油管	油管缩径;价格较高	适应于偏磨严重的井段
非金属管、杆(玻璃钢)	重量轻,耐蚀、防垢性能良好	脆性大,不耐高温;运输及施工工艺复杂,重复利用难度大;无法克服井下工具腐蚀问题	适用于低温、浅井或中深井

表6 腐蚀、结垢类型划分

腐蚀类型	I 型				II 型	
腐蚀影响因素	CO ₂ 、Cl ⁻ 、Ca ²⁺ 、Mg ²⁺ 、SO ₄ ²⁻				SRB、Cl ⁻ 、SO ₄ ²⁻ 、CO ₃ ⁻	
结垢类型	不结垢	轻微结垢	易结垢	不结垢	轻微结垢	易结垢
配方型号	HZ-1	HZ-3	HZ-5	HZ-2	HZ-4	HZ-6

表7 不同配方缓蚀效果及防污效果评价

配方型号	HZ-1		HZ-2		HZ-3		HZ-4		HZ-5		HZ-6	
井号	岔 80-19	岔 80-42	岔 80-19	岔 80-42	岔 12-35	岔 31-127	岔 12-160	岔 74-36	岔 12-69	岔 74-213	岔 19-209	岔 19-219
腐蚀速率 mm·a ⁻¹	0.0024	0.0041	0.0024	0.0041	0.0038	0.0019	0.0083	0.0057	0.0062	0.0056	0.0023	0.0031
缓蚀率/%	77.27	82.11	77.27	82.11	83.51	95.34	88.70	85.46	78.51	89.40	83.60	83.40
防垢率/%	---	---	---	---	93.25	90.10	94.20	91.20	95.13	93.50	91.20	90.40

chinaXiv:202303.10623v1

4.3 内衬油管应用设计

开发了内衬油管防偏磨优化设计软件,可进行全井段杆管摩擦力分布计算;内衬油管长度、位置、段数设计;内衬油管使用前后井液流动、接箍效应对杆柱受力影响分析等。目前在岔河集油田应用内衬油管142口井,占同期开井数的27.9%。

5 现场实施效果

5.1 加药方式

为便于操作和降低加药工作量,现场从单井油套环空加入HZ型防腐防垢剂。加药方式和药量根据油井腐蚀结垢程度、产液性质、套管气压力大小等资料综合考虑确定。对于套压高的井,采用车载带压加药方式,以免释放大套管气造成资源浪费和环境污染,其他井采用漏斗加入。加药周期为7~10 d,加药浓度为160~400 mg/L。第1次加药量为正常加药量的3倍,对油套环形空间及油管内进行预模处理,此后转入正常加药制度。

实践表明,并非药剂加得越多越好,当达到一定浓度后其效果趋于稳定。为了既保证药效又降低成本,每口井的加药周期和加药量要根据现场跟踪取样实验结果(Fe^{3+} 、钙镁离子含量、腐蚀速率变化)及时调整,最终找到一种最佳的加药制度。

5.2 应用效果

现场首批选出40口腐蚀结垢较严重的井,从2010年3月起从套管定期加入HZ型防腐防垢剂。截至2012年底平均检泵周期达到893 d,比加药前的183 d延长了710 d,延长了3.9倍。在此基础上,

2013年岔河集油田新增防腐防垢井60口,总计达到100口井,新增加药井的免修期已超过加药前的检泵周期,并仍然有效。目前,HZ型防腐防垢剂正在华北油田各采油厂规模推广,实施井数已达到300余口。

6 结论

(1) 通过现场取样分析,造成岔河集油田抽油井杆管腐蚀结垢的主要因素是采出水矿化度高、离子含量高、游离 CO_2 含量高,以及硫酸盐还原菌和管杆偏磨的共同作用。

(2) 筛选的HZ型防腐防垢剂针对性强,配合内衬油管的应用,使油井腐蚀结垢得到明显减缓,平均延长检泵周期3.9倍。

参考文献

- [1] 衣延安. 油田杆管腐蚀机理及化学防腐技术的应用[J]. 计量与测试技术, 2012, 39(3): 14
- [2] 高亚丽, 于华, 陈霞等. K71断块管杆偏磨腐蚀现状及治理对策[J]. 石油天然气学报, 2012, 34(9): 342
- [3] 靳从起, 赵普春, 王世录等. W22区块油井管杆腐蚀偏磨治理技术[J]. 钻采工艺, 2000, 23(1): 32
- [4] 丁万成, 张彦君, 张丽萍等. 油井管腐蚀现状与防治技术的发展[J]. 石油化工腐蚀与防护, 2009, 26(2): 1
- [5] 何公平, 杨庆勇. 坪北油田油井腐蚀原因与防治措施[J]. 江汉石油职工大学学报, 2009, 22(4): 56
- [6] 纪艳娟, 王志明, 徐卫华. 安徽采油厂油井腐蚀结垢分析及对策[J]. 石油化工应用, 2010, 29(2/3): 122
- [7] 韩力, 陆平, 王中武等. 陆梁油田抽油井井下防腐防垢技术[J]. 油气储运, 2010, 29(11): 841
- [8] 付亚荣, 李淼, 谢风华等. 油井清蜡降黏与防腐防垢联作技术[J]. 石油钻采工艺, 2010, 32(3): 122